



**Universidad  
de Valparaíso**  
CHILE

**UNIVERSIDAD DE VALPARAÍSO**

FACULTAD DE INGENIERÍA

ESCUELA DE INGENIERÍA CIVIL BIOMÉDICA

---

CBM 426 - TALLER DE INTEGRACIÓN

## Proyecto Incubadora

Alumnos:

**Josefa Belen Miranda Aravena  
Maximiliano Antonio Gaete Pizarro  
Maria-Ignacia Constanza Rojas Garcia**

Profesores:

**Gonzalo Tapia Cabrera  
Antonio José Rienzo Renato  
Luis Togo Arredondo Gamboa**

# Índice

<b>1. Introducción</b>	<b>4</b>
<b>2. Objetivos</b>	<b>4</b>
<b>3. Diseño del Prototipo</b>	<b>5</b>
3.1. Materiales . . . . .	5
3.2. Dibujo Técnico . . . . .	5
3.2.1. Tapa . . . . .	5
3.2.2. Caja . . . . .	6
3.2.3. Caja Cerrada . . . . .	6
3.3. Diseño del Circuito . . . . .	7
3.3.1. Calculo de componentes a usar . . . . .	7
3.3.2. Esquemático . . . . .	8
3.3.3. Circuito Impreso . . . . .	8
<b>4. Código para el control de la incubadora</b>	<b>9</b>
4.1. Código Arduino . . . . .	9
4.2. Código Python . . . . .	11
<b>5. Ensayos y Resultados</b>	<b>13</b>
5.1. Ensayos de Control de Temperatura con Calefactor . . . . .	13
5.1.1. Prueba 1: 100 % de potencia . . . . .	14
5.1.2. Prueba 2: 80 % de potencia . . . . .	14
5.1.3. Prueba 3: 60 % de potencia . . . . .	14
5.1.4. Prueba 4: 40 % de potencia . . . . .	15
5.1.5. Prueba 5: 20 % de potencia . . . . .	15
5.1.6. Resultados . . . . .	15
5.2. Ensayos de Temperatura con Distintas Velocidades del Ventilador . . . . .	16
5.2.1. Prueba 1: 100 % de Potencia, Ventilador a 12v, 9,5v y 7v . . . . .	17
5.2.2. Prueba 2: 80 % de Potencia, Ventilador a 12v, 9,5v y 7v . . . . .	17
5.2.3. Prueba 3: 60 % de Potencia, Ventilador a 12v, 9,5v y 7v . . . . .	17
5.2.4. Prueba 4: 40 % de Potencia, Ventilador a 12v, 9,5v y 7v . . . . .	18
5.2.5. Prueba 5: 20 % de Potencia, Ventilador a 12v, 9,5v y 7v . . . . .	18
5.2.6. Resultados . . . . .	18
5.3. Comparación Pruebas Con y Sin Ventilador . . . . .	20
<b>6. Modelo Matemático de la Incubadora de Control de Temperatura</b>	<b>21</b>
6.1. Función de Transferencia . . . . .	21
6.2. Ecuación Diferencial en el Dominio del Tiempo . . . . .	21
6.3. Solución en Estado Transitorio y Estacionario . . . . .	21

6.4. Diagrama de Bloques . . . . .	22
<b>7. Temperaturas Alcanzables y Tiempo de Estabilización</b>	<b>22</b>
7.1. Rango de Temperaturas Alcanzable . . . . .	22
7.2. Tiempo de Respuesta del Sistema . . . . .	23
7.3. Resumen del Control de Temperatura . . . . .	23
7.4. Simulación en Python . . . . .	23
7.5. Explicación del Código . . . . .	25
<b>8. Algoritmo de Control PID en Arduino</b>	<b>26</b>
8.1. Cálculo de los Parámetros del PID . . . . .	26
8.2. Implementación en Arduino . . . . .	26
8.3. Resultados Control de Temperatura con PID . . . . .	28

## 1. Introducción

Se desarrollará un prototipo de incubadora neonatal que utiliza una ampolla de 12V como fuente de calor, un ventilador para la circulación de aire, y un sensor NTC para medir la temperatura.

La finalidad del prototipo y controlar de manera precisa la temperatura interna, creando un ambiente adecuado para un neonato. Para lograr esto, se implementará un sistema de control basado en Arduino que permite regular la temperatura de forma automática y eficiente. Además, se registrará la evolución de los parámetros obtenidos en diferentes escenarios, lo cual contribuye al análisis y mejora continua del prototipo.

## 2. Objetivos

1. Desarrollar un prototipo de incubadora utilizando una caja plástica, con una ampolla como calefactor, un ventilador y un sensor NTC para medir la temperatura.
2. Diseñar un circuito controlado por Arduino que regule la potencia de la ampolla, mida la velocidad del ventilador y registre la temperatura.
3. Programar un software en Python que permita la comunicación del sistema con el computador a través de un puerto serial y controle los elementos mencionados.
4. Realizar ensayos de control de temperatura y registrar los resultados en archivos CSV para su análisis posterior.
5. Repetir los ensayos incluyendo el ventilador a distintas velocidades y generar gráficos de los resultados obtenidos.
6. Desarrollar un modelo matemático que describa el comportamiento de la temperatura en función de la potencia del calefactor.
7. Definir el rango de control de temperatura y los tiempos de respuesta del sistema.
8. Implementar un algoritmo de control en Arduino para mantener la temperatura dentro del rango especificado.
9. Verificar el funcionamiento del sistema y determinar el error máximo en la temperatura controlada.
10. Crear una base de datos para registrar y visualizar el estado del prototipo en tiempo real.
11. Implementar un sistema de alarmas luminoso y auditivo para alertar de fallos en el sistema.
12. Registrar las alarmas del sistema dentro de la plataforma informática.

### 3. Diseño del Prototipo

#### 3.1. Materiales

Cuadro 1: Materiales utilizados en el prototipo.

Material	Cantidad
Caja plástica	1
Ampolleta de 12V	1
Ventilador de 12V	1
NTC 100K	1
Arduino Uno	1
Protoboard	1
Resistencia de $47\Omega$	1
Resistencia de $100\Omega$ 1W	1
Resistencia de $5.6K\Omega$	1
Resistencia de $100K\Omega$	1
Transistor NPN 2N2222	1
Transistor NPN TIP41C	1
Optoacoplador 4N26	1
Fuentes de alimentación 12V	1

#### 3.2. Dibujo Técnico

##### 3.2.1. Tapa

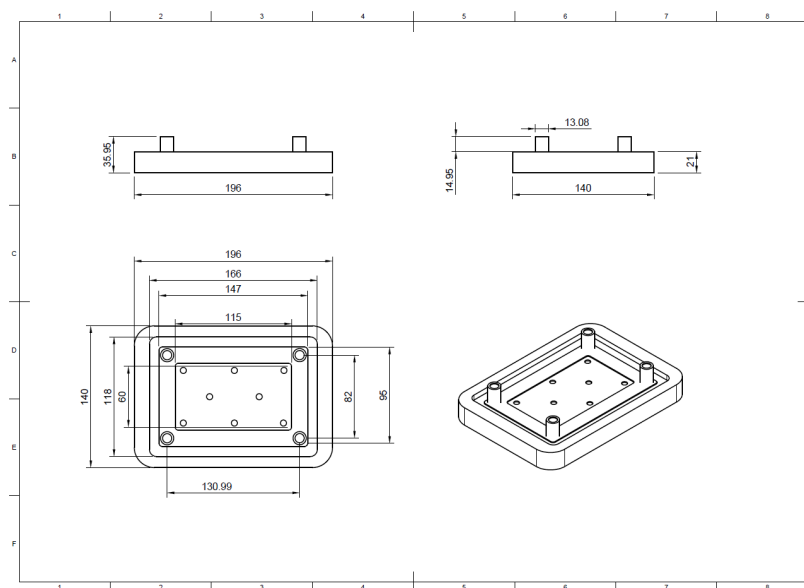


Figura 1: Dibujo técnico de la tapa.

### 3.2.2. Caja

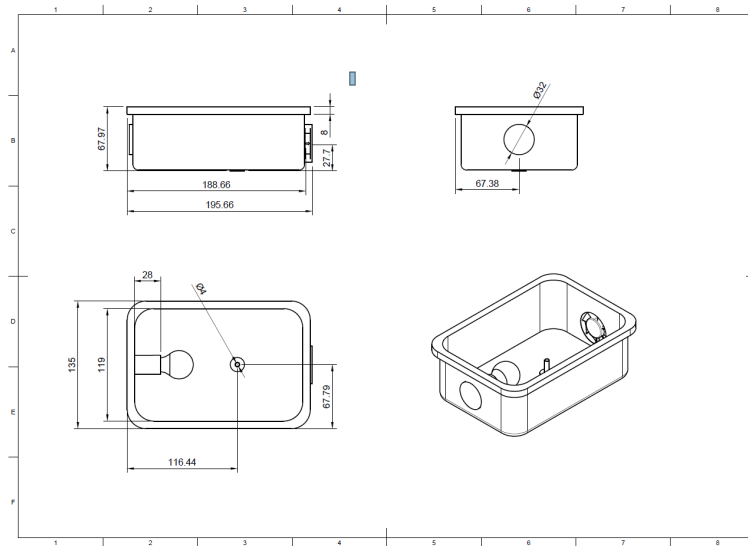


Figura 2: Dibujo técnico de la caja plástica.

### 3.2.3. Caja Cerrada

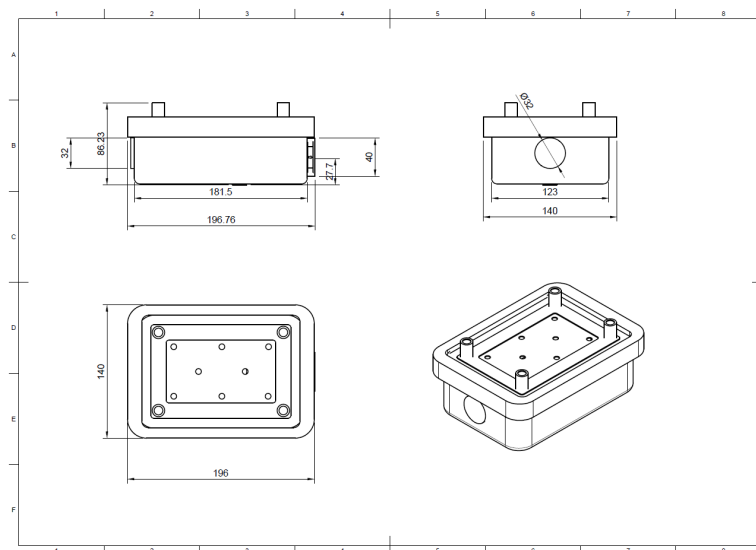


Figura 3: Dibujo técnico de la caja plástica con la tapa puesta.

### 3.3. Diseño del Circuito

#### 3.3.1. Calculo de componentes a usar

##### Ampolleta de 12V y 1.7A

Se utilizará un transistor TIP41C para controlar la ampolleta, el cual tiene un rango de funcionamiento adecuado para la corriente que se manejará.

$$i_A = 1,7 \text{ A}$$

El rango de  $h_{FE}$  para el transistor TIP41C es entre 15 y 75. En este caso, utilizamos un valor de  $h_{FE}$  mínimo:

$$h_{FE} = 15$$

La corriente de base  $i_b$  se calcula como:

$$i_A = h_{FE} \cdot i_b$$

$$i_b = \frac{1,7}{15}$$

$$i_b = 0,113 \text{ A}$$

La resistencia de base  $R_b$  se calcula con la siguiente fórmula:

$$R_b = \frac{12 - 0,7}{0,113}$$

$$R_b = 100 \Omega$$

##### Ventilador de 12V y 0.06A

Se utilizará un transistor 2N2222 para controlar el ventilador, el cual tiene un rango de funcionamiento adecuado para la corriente que se manejará.

$$i_V = 0,06 \text{ A}$$

El rango de  $h_{FE}$  para el transistor 2N2222 es entre 30 y 75. Utilizaremos el valor mínimo de  $h_{FE}$ :

$$h_{FE} = 30$$

La corriente de base  $i_b$  se calcula como:

$$i_b = \frac{i_C}{h_{FE}}$$

$$i_b = \frac{0,06}{30} = 0,002 \text{ A}$$

La resistencia de base  $R_b$  se calcula de la siguiente manera:

$$R_b = \frac{12 - 0,7}{0,002}$$

$$R_b = 5650 \Omega$$

### 3.3.2. Esquemático

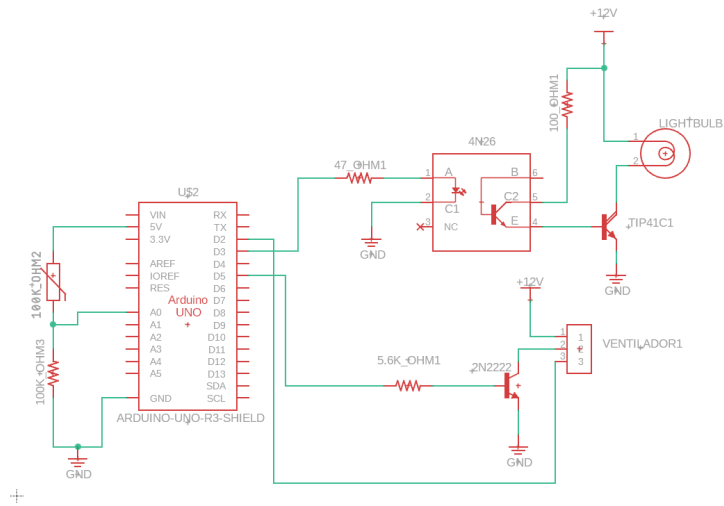


Figura 4: Diseño del circuito de control de la incubadora.

### 3.3.3. Circuito Impreso

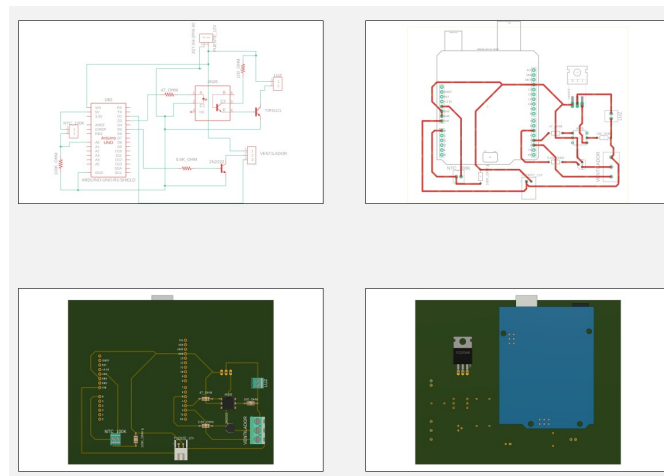


Figura 5: Diseño del circuito impreso de control de la incubadora.



## 4. Código para el control de la incubadora

Este proyecto integra dos componentes principales: un microcontrolador basado en Arduino y una interfaz gráfica desarrollada en Python utilizando la biblioteca PyQt6. El sistema permite controlar la potencia de radiación de una ampolla, la velocidad de giro del ventilador, y medir la temperatura registrada por un sensor NTC. A continuación, se detallan los códigos implementados en ambas plataformas, explicando su funcionamiento.

### 4.1. Código Arduino

El código de Arduino es responsable de controlar los sensores y actuadores de la incubadora. Se utiliza un controlador PID (Proporcional, Integral y Derivativo) para mantener la temperatura estable, y se implementan las siguientes funciones:

- **Controlar la potencia de radiación de la ampolla:** La ampolla se controla utilizando modulación por ancho de pulso (PWM) en el pin 11 de Arduino. El valor de salida del controlador PID ajusta dinámicamente la potencia de la luz en función de la temperatura medida, o se puede ajustar manualmente desde la interfaz Python. Esto se logra con la función `analogWrite`.
- **Controlar y medir la velocidad de giro del ventilador:** El ventilador se controla mediante PWM en el pin 9. La velocidad de giro se mide con un tacómetro conectado al pin 2, utilizando interrupciones para contar los impulsos por revolución. Estos valores se imprimen periódicamente por el puerto serial y se utilizan tanto para la visualización en la interfaz como para ajustar el ventilador.
- **Medir la temperatura registrada por la NTC:** La resistencia del sensor NTC se mide en el pin A0, y se utiliza la ecuación de Steinhart-Hart para convertir la resistencia a una temperatura en grados Celsius. El valor de temperatura es utilizado por el PID para controlar la ampolla.

A continuación se presenta el código de Arduino que implementa estas funciones:

```
#include <Arduino.h>
#include <PID_v1.h>

// Definición de pines y constantes
#define NTC_PIN A0
#define LUZ_PIN 11
#define VENT_PIN 9
#define VEL_PIN 2

// Coeficientes de la ecuación de Steinhart-Hart para el sensor NTC
#define A_COEFF 0.5458630405e-3
#define B_COEFF 2.439180157e-4
#define C_COEFF -0.0003705076153e-7
```

```

// Variables para mediciones y control
float resistenciaNTC, logResistencia, tempKelvin, tempCelsius;
int lecturaNTC, potenciaVentilador, potenciaLuz;
volatile int contadorImpulsos = 0;
volatile float velocidadRPM = 0;
unsigned long tiempoAnteriorTemp, tiempoAnteriorVel, tiempoImprimir,
    ultimoTiempoRPM;

// Variables PID
double Setpoint, Input, Output;
double Kp = 30.0, Ki = 1.0, Kd = 0.0;
PID myPID(&Input, &Output, &Setpoint, Kp, Ki, Kd, DIRECT);

// Inicializacion de funciones y configuracion de pines
void setup() {
    Serial.begin(115200);
    pinMode(NTC_PIN, INPUT);
    pinMode(LUZ_PIN, OUTPUT);
    pinMode(VENT_PIN, OUTPUT);
    attachInterrupt(digitalPinToInterrupt(VEL_PIN), medirVelocidad,
        FALLING);
    myPID.SetMode(AUTOMATIC);
    myPID.SetOutputLimits(0, 100);
}

void loop() {
    // Logica de medicion de temperatura y control PID
    // Medicion de la NTC, calculo de temperatura y control de la
    // ampolleta
    if (millis() - tiempoAnteriorTemp >= 250) {
        lecturaNTC = analogRead(NTC_PIN);
        resistenciaNTC = 100000.0 * ((1023.0 / lecturaNTC) - 1.0);
        logResistencia = log(resistenciaNTC);
        tempKelvin = 1.0 / (A_COEFF + B_COEFF * logResistencia + C_COEFF
            * pow(logResistencia, 3));
        tempCelsius = tempKelvin - 273.15;

        // Control de la luz
        Input = tempCelsius;
        myPID.Compute();
        analogWrite(LUZ_PIN, map(Output, 0, 100, 0, 255));

        tiempoAnteriorTemp = millis();
    }

    // Control y medicion de la velocidad del ventilador
    if (millis() - tiempoAnteriorVel >= 1000) {
        unsigned long tiempoActual = millis();
    }
}

```

```

    unsigned long tiempoTranscurrido = tiempoActual - ultimoTiempoRPM
        ;
    int pulsos = contadorImpulsos;
    contadorImpulsos = 0;
    if (tiempoTranscurrido > 0) {
        velocidadRPM = (pulsos / 2.0) * (60000.0 / tiempoTranscurrido
            );
    }
    ultimoTiempoRPM = tiempoActual;
    tiempoAnteriorVel = tiempoActual;
}

// Impresion de datos por serial
if (millis() - tiempoImprimir >= 300) {
    Serial.print(tempCelsius);
    Serial.print(";");
    Serial.print(velocidadRPM);
    Serial.print(";");
    Serial.println(Output);
    tiempoImprimir = millis();
}
}

```

Este código maneja la lectura de la temperatura y la velocidad del ventilador, ajustando la potencia de la luz en función del controlador PID.

## 4.2. Código Python

El código en Python implementa una interfaz gráfica que permite al usuario monitorear y controlar en tiempo real los valores de temperatura, velocidad del ventilador y la potencia de la luz. Las principales funciones son:

- **Controlar la potencia de la luz:** Desde la interfaz, el usuario puede ajustar manualmente la potencia de la luz usando un slider, o puede activar el modo automático que delega el control a Arduino. El control se realiza enviando comandos seriales que son interpretados por el Arduino.
- **Controlar la velocidad del ventilador:** De forma similar, el usuario puede ajustar la velocidad del ventilador manualmente o permitir que el sistema controle automáticamente en función de la temperatura.
- **Monitorear la temperatura:** La temperatura leída por el sensor NTC en Arduino se envía al programa Python, donde se muestra en la interfaz gráfica junto con gráficos en tiempo real que muestran las tendencias de temperatura, velocidad y potencia.

A continuación se presenta un extracto del código Python que implementa estas funciones:

```

import serial
from PyQt6 import uic, QtWidgets
from PyQt6.QtCore import QTimer, QDateTime

class Plataforma(QMainWindow):
    def __init__(self):
        super().__init__()
        uic.loadUi("Plataforma.ui", self)
        self.serial_port = serial.Serial('COM12', 115200, timeout=1)
        self.timer = QTimer()
        self.timer.timeout.connect(self.leer_datos)
        self.timer.start(300)

    def leer_datos(self):
        while self.serial_port.in_waiting > 0:
            linea = self.serial_port.readline().decode('utf-8').strip()
            if linea:
                datos = linea.split(';')
                if len(datos) == 3:
                    temp = float(datos[0])
                    velocidad = float(datos[1])
                    potencia_luz_aplicada = float(datos[2])
                    # Mostrar datos en la GUI
                    self.label_temperatura.setText(f'Temperatura: {temp:.1f}°C')
                    self.label_velocidad.setText(f'Velocidad: {int(velocidad)} RPM')
                    self.label_potencia_luz.setText(f'Potencia Luz: {potencia_luz_aplicada:.0f}%')

    def enviar_luz(self, valor):
        comando = f'LUZ {valor}\n'
        self.serial_port.write(comando.encode('utf-8'))

    def enviar_ventilador(self, valor):
        comando = f'VENT {valor}\n'
        self.serial_port.write(comando.encode('utf-8'))

    def enviar_setpoint(self, valor):
        comando = f'SETPOINT {valor}\n'
        self.serial_port.write(comando.encode('utf-8'))

```

Este código se encarga de la interacción entre el usuario y el sistema a través de una interfaz gráfica, mostrando la temperatura y la velocidad del ventilador, y permitiendo ajustar la potencia de la luz y la velocidad del ventilador. Los comandos enviados por el puerto serial son procesados por el Arduino para ajustar los actuadores correspondientes.

## Gráficos en tiempo real

El programa utiliza PyQtGraph para generar gráficos en tiempo real que muestran la evolución de la temperatura, la velocidad del ventilador y las potencias de los actuadores a lo largo del tiempo.

```
def actualizar_graficos(self):  
    self.curve_temp.setData(self.tiempos, self.temperaturas)  
    self.curve_vel.setData(self.tiempos, self.velocidades)  
    self.curve_potencia_vent.setData(self.tiempos, self.  
        potencias_ventilador)
```

Estos gráficos permiten al usuario monitorear el desempeño de la incubadora de manera visual y en tiempo real, lo que facilita el control del sistema y la toma de decisiones.



Figura 6: Interfaz gráfica de la plataforma de control de la incubadora.

## 5. Ensayos y Resultados

### 5.1. Ensayos de Control de Temperatura con Calefactor

Para realizar los ensayos se realizaron 5 pruebas de respuesta tipo escalon, variando la potencia de la ampollita de 0 a 100 % en incrementos de 20 %. Los resultados obtenidos se muestran a continuación.

### 5.1.1. Prueba 1: 100 % de potencia

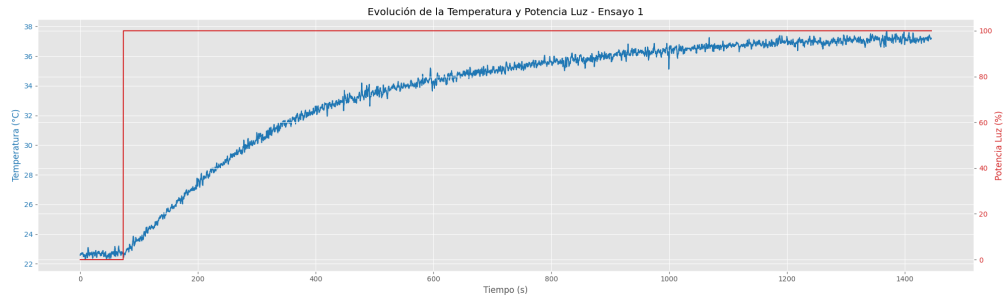


Figura 7: Respuesta de la temperatura a un escalón de 100 % de potencia.

### 5.1.2. Prueba 2: 80 % de potencia

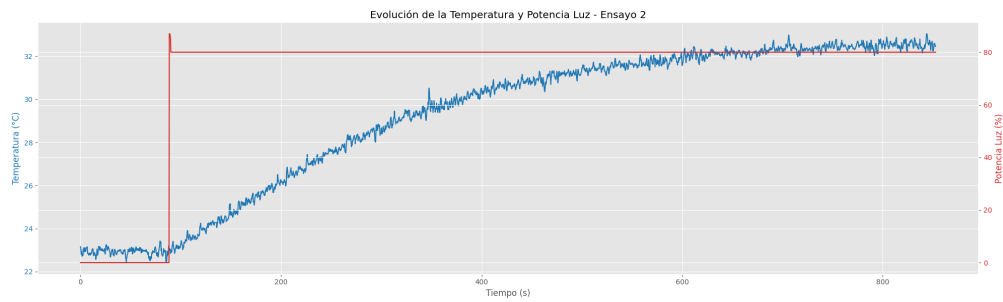


Figura 8: Respuesta de la temperatura a un escalón de 80 % de potencia.

### 5.1.3. Prueba 3: 60 % de potencia

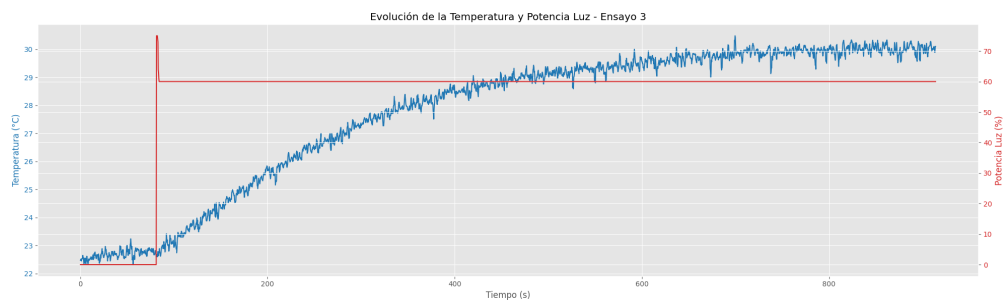


Figura 9: Respuesta de la temperatura a un escalón de 60 % de potencia.

#### 5.1.4. Prueba 4: 40 % de potencia

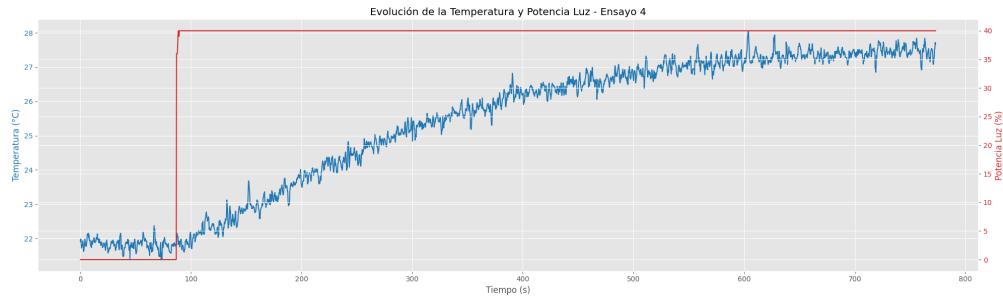


Figura 10: Respuesta de la temperatura a un escalón de 40 % de potencia.

#### 5.1.5. Prueba 5: 20 % de potencia

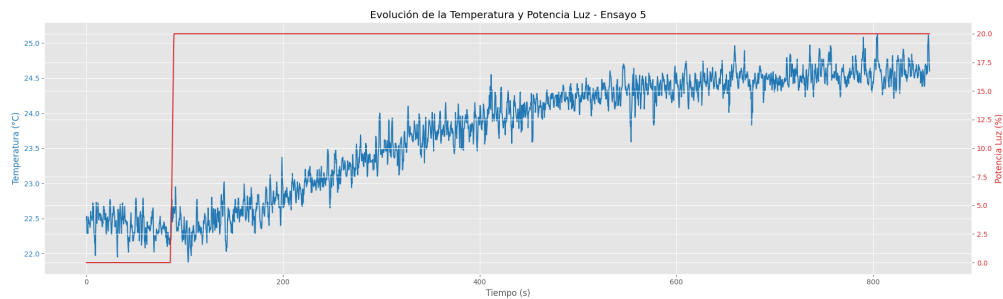


Figura 11: Respuesta de la temperatura a un escalón de 20 % de potencia.

De los gráficos podemos visualizar que las curvas de temperatura tienen una forma exponencial con un aumento rápido y una estabilización progresiva. Gráficas que nos permiten obtener los datos del cuadro 3, que son relevantes para nuestra posterior comparación con los ensayos de temperatura con ventilador.

#### 5.1.6. Resultados

Las pruebas de respuesta a escalón permiten evaluar la capacidad de control del sistema y determinar su desempeño en función de la potencia aplicada. La Potencia al 100 % representa la máxima capacidad de calentamiento de la ampolla, mientras que la potencia al 0 % representa la condición de apagado total.

Para realizar el análisis de los resultados, se calcula el tiempo de asentamiento  $t_s$ , la diferencia de temperatura, la temperatura máxima para cada ensayo y la potencia de radiación.

## Fórmulas para el Analisis de la Respuesta a Escalón

Cambio en la Temperatura Final ( $\Delta T_{\text{final}}$ ):

$$\Delta T_{\text{final}} = T_{\text{final}} - T_{\text{inicial}}$$

### Cálculo de la Potencia de Radiación

La potencia de radiación de la ampollita se calcula como:

$$P = V \cdot I$$

Donde  $V = 12\text{ V}$  es el voltaje de la ampollita y  $I$  es la corriente medida en cada ensayo.

En este caso la potencia total es de  $20.4\text{ W}$  ya que los valores maximos alcanzados por la ampollita son  $V = 12\text{ V}$  y  $I = 1,7\text{ A}$ .

Al tener la eficiencia luminica de la ampollita que es  $0.05\%$ , se puede calcular la potencia de radiación.

$$P_{\text{Radiación Luminica}} = P \cdot \text{Eficiencia}$$

$$P_{\text{Radiación calorica}} = P_{\text{Total}} - P_{\text{Radiación Luminica}}$$

Se presentan los resultados obtenidos en la siguiente tabla:

Ensayo	Potencia (%)	Temp. Inicial (°C)	Temp. Final (°C)	Cambio en Temp. (°C)	Potencia de Radiación (W)
1	100	23.25	37.13	13.88	18.6
2	80	22.95	32.52	9.57	14.9
3	60	22.88	30.01	7.13	11.2
4	40	21.79	27.46	5.67	7.4
5	20	22.43	24.60	2.17	3.7

Cuadro 2: Resultados de los ensayos de temperatura sin ventilador.

### 5.2. Ensayos de Temperatura con Distintas Velocidades del Ventilador

Para realizar los ensayos se realizaron 5 pruebas de respuesta tipo escalon, variando la velocidad del ventilador. Los resultados obtenidos se muestran a continuación.



### 5.2.1. Prueba 1: 100 % de Potencia, Ventilador a 12v, 9,5v y 7v

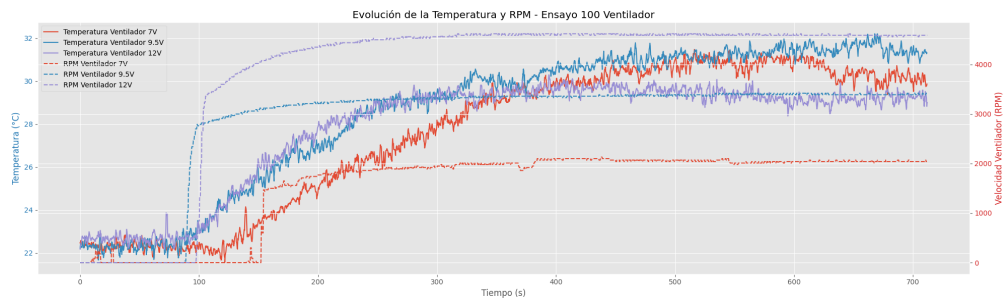


Figura 12: Respuesta de la temperatura a un escalón de 100 % de potencia y 3 velocidades de ventilador.

### 5.2.2. Prueba 2: 80 % de Potencia, Ventilador a 12v, 9,5v y 7v

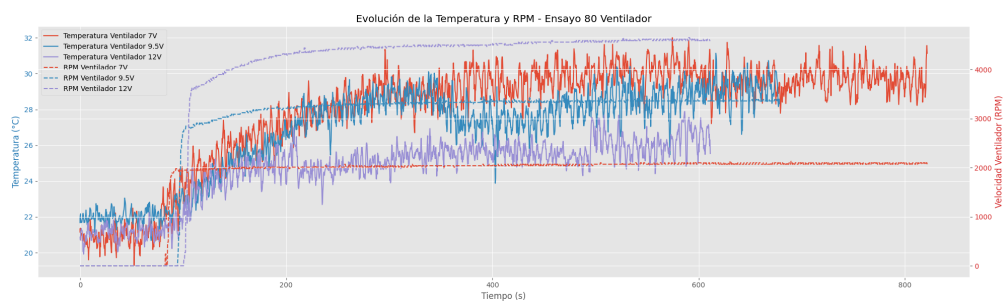


Figura 13: Respuesta de la temperatura a un escalón de 80 % de potencia y 3 velocidades de ventilador.

### 5.2.3. Prueba 3: 60 % de Potencia, Ventilador a 12v, 9,5v y 7v

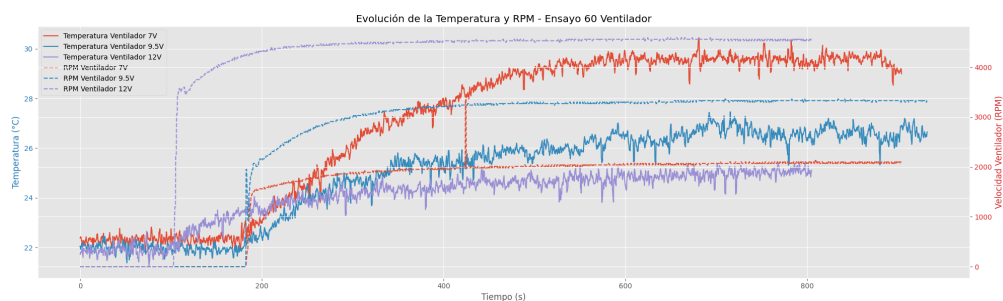


Figura 14: Respuesta de la temperatura a un escalón de 60 % de potencia y 3 velocidades de ventilador.

#### 5.2.4. Prueba 4: 40 % de Potencia, Ventilador a 12v, 9,5v y 7v

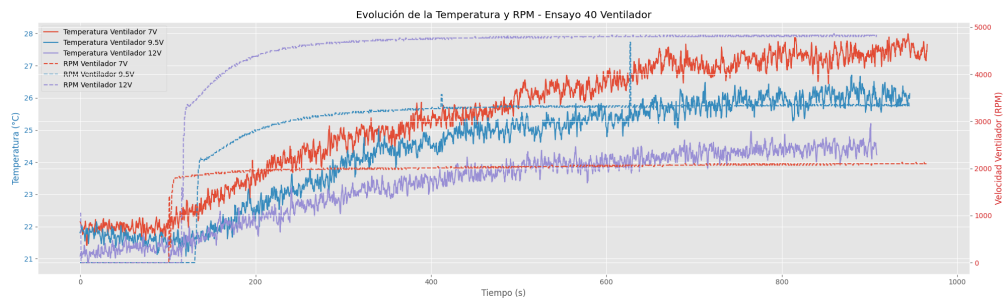


Figura 15: Respuesta de la temperatura a un escalón de 40 % de potencia y 3 velocidades de ventilador.

#### 5.2.5. Prueba 5: 20 % de Potencia, Ventilador a 12v, 9,5v y 7v

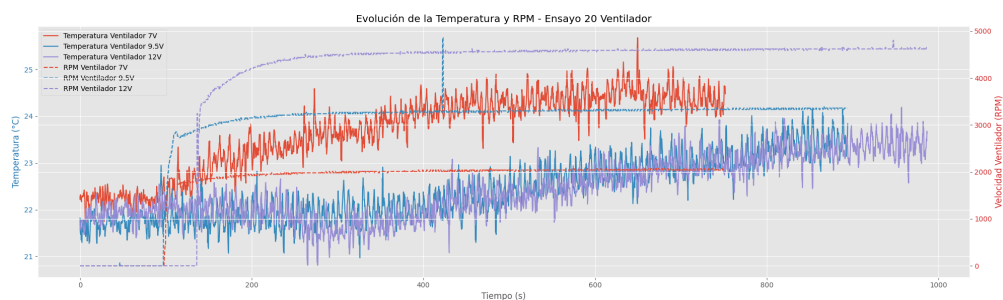


Figura 16: Respuesta de la temperatura a un escalón de 20 % de potencia y 3 velocidades de ventilador.

#### 5.2.6. Resultados

En los ensayos realizados, se concluye que el ventilador a 12V es el más eficiente en todas las condiciones de potencia, proporcionando un enfriamiento rápido y estable, especialmente en potencias altas. Sin embargo, su rendimiento disminuye progresivamente a medida que baja la potencia del sistema. El ventilador a 9.5V muestra un comportamiento aceptable en potencias altas y medias, aunque con mayores fluctuaciones y menor capacidad de enfriamiento, especialmente en potencias bajas. Por otro lado, el ventilador a 7V no es adecuado para mantener el control térmico en ninguna de las pruebas, presentando insuficiente capacidad de enfriamiento y permitiendo oscilaciones importantes en la temperatura.

En la siguiente tabla se presentan los resultados de los ensayos de temperatura con ventilador:

Potencia (%)	Ventilador (V)	$T_{\text{inicial}}$ (°C)	$T_{\text{final}}$ (°C)	$\Delta T_{\text{final}}$ (°C)	$t_s$ (s)	$K$ (°C/P %)
100	7	21.83	30.28	8.45	80	0.0845
100	9.5	22.77	31.28	8.51	70	0.0851
100	12	22.77	29.01	6.24	60	0.0624
80	7	22.74	31.14	8.40	75	0.1050
80	9.5	22.59	28.33	5.74	65	0.0718
80	12	22.02	25.54	3.52	60	0.0440
60	7	22.38	29.17	6.79	70	0.1132
60	9.5	22.05	26.65	4.60	60	0.0767
60	12	21.95	25.11	3.16	55	0.0527
40	7	22.15	27.66	5.51	60	0.1377
40	9.5	22.08	26.13	4.05	55	0.1012
40	12	21.82	24.48	2.66	50	0.0665
20	7	21.37	24.23	2.86	55	0.1430
20	9.5	21.82	23.84	2.02	50	0.1010
20	12	21.77	23.47	1.70	45	0.0850

Cuadro 3: Resultados de los ensayos con ventilador a diferentes velocidades y potencias.

En el cuadro 3, hemos incorporado el cálculo de la ganancia estática y el tiempo de estabilización a los resultados del cuadro 3. Esta información es necesaria para comprender cómo la velocidad del ventilador impacta la temperatura alcanzada en el sistema, lo que a su vez ayudará a ajustar los parámetros operativos en tiempo real para futuras tareas.

### 5.3. Comparación Pruebas Con y Sin Ventilador

Potencia (%)	Ventilador (V)	$T_{\text{final}}$ (°C) sin Ventilador	$T_{\text{final}}$ (°C) con Ventilador	$\Delta T_{\text{final}}$ (°C) sin Ventilador	$\Delta T_{\text{final}}$ (°C) con Ventilador
100	7	37.13	30.28	13.88	8.45
100	9.5	37.13	31.28	13.88	8.51
100	12	37.13	29.01	13.88	6.24
80	7	32.52	31.14	9.57	8.40
80	9.5	32.52	28.33	9.57	5.74
80	12	32.52	25.54	9.57	3.52
60	7	30.01	29.17	7.13	6.79
60	9.5	30.01	26.65	7.13	4.60
60	12	30.01	25.11	7.13	3.16
40	7	27.46	27.66	5.67	5.51
40	9.5	27.46	26.13	5.67	4.05
40	12	27.46	24.48	5.67	2.66
20	7	24.60	24.23	2.17	2.86
20	9.5	24.60	23.84	2.17	2.02
20	12	24.60	23.47	2.17	1.70

Cuadro 4: Resultados de los ensayos con ventilador a diferentes velocidades y potencias.

Al comparar las pruebas con y sin ventilador, se observa una clara reducción de la temperatura final cuando el ventilador está encendido, independientemente de su velocidad. Esto resalta el efecto significativo del ventilador en la reducción de temperatura.

Además podemos notar que el impacto del ventilador es más evidente a potencias altas, donde la reducción de temperatura es más significativa.

Por lo tanto, tenemos que el uso del ventilador mejora la disipación de calor, especialmente a mayores velocidades y potencias, resultando en temperaturas finales más bajas y una menor variación de temperatura, lo cual es esencial para mantener la estabilidad térmica y prevenir el sobrecalentamiento de los componentes.

## 6. Modelo Matemático de la Incubadora de Control de Temperatura

Se presenta un modelo matemático para describir el comportamiento de la temperatura interna de un ambiente controlado como función de la potencia aplicada al calefactor. El modelo se basa en las suposiciones siguientes:

- El efecto del ventilador se ignora.
- El sistema se aproxima como un sistema de primer orden.
- La temperatura inicial es  $T_0 = 22^\circ C$ .

### 6.1. Función de Transferencia

Un sistema de primer orden en el dominio de Laplace se expresa mediante la siguiente función de transferencia:

$$G(s) = \frac{K}{\tau s + 1} \quad (1)$$

Donde:

- $G(s)$  es la función de transferencia del sistema.
- $K$  es la ganancia estática promedio del sistema ( $0,1255^\circ C/P\%$ ).
- $\tau$  es la constante de tiempo promedio del sistema (243.91 s).
- $s$  es la variable compleja del dominio de Laplace.

Sustituyendo los valores dados, obtenemos:

$$G(s) = \frac{0,1255}{243,91s + 1} \quad (2)$$

### 6.2. Ecuación Diferencial en el Dominio del Tiempo

La ecuación diferencial equivalente en el dominio del tiempo es:

$$243,91 \frac{dT(t)}{dt} + T(t) = 0,1255 \cdot P(t) \quad (3)$$

### 6.3. Solución en Estado Transitorio y Estacionario

Para una entrada de potencia constante  $P(t) = P_0$ , la solución es:

$$T(t) = T_0 + K \cdot P_0 \cdot \left(1 - e^{-t/\tau}\right) \quad (4)$$

En estado estacionario ( $t \rightarrow \infty$ ), la temperatura alcanzada será:

$$T_{\infty} = T_0 + K \cdot P_0 \quad (5)$$

Por ejemplo, si  $P_0 = 50 \%$ , la temperatura final será:

$$T_{\infty} = 22 + 0,1255 \cdot 50 = 28,275^{\circ}C \quad (6)$$

#### 6.4. Diagrama de Bloques

A continuación se presenta el diagrama de bloques del sistema:

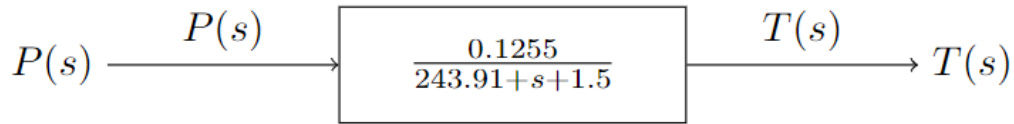


Figura 17: Diagrama de bloques del sistema de control de temperatura.

### 7. Temperaturas Alcanzables y Tiempo de Estabilización

Para determinar el **rango de temperaturas alcanzable** mediante el control de la potencia del calefactor y los **tiempos de respuesta asociados**, nos basamos en la función de transferencia obtenida previamente:

$$G(s) = \frac{0,1255}{243,91 s + 1}$$

Donde:

- $K = 0,1255^{\circ}C/P \%$ : Ganancia estática del sistema.
- $\tau = 243,91$  s: Constante de tiempo.
- Temperatura inicial:  $T_0 = 22^{\circ}C$ .

#### 7.1. Rango de Temperaturas Alcanzable

La temperatura máxima alcanzable dependerá de la potencia máxima aplicada al calefactor, que asumimos puede variar entre  $0 \%$  y  $100 \%$ . Usando la ganancia estática  $K$ , se calcula la temperatura final como:

$$T_{\infty} = T_0 + K \cdot P_{\max}$$

Para  $P_{\max} = 100\%$ :

$$T_{\infty} = 22 + 0,1255 \cdot 100 = 34,55\text{ }^{\circ}\text{C}$$

Para  $P_{\min} = 0\%$ :

$$T_{\infty} = 22 + 0,1255 \cdot 0 = 22\text{ }^{\circ}\text{C}$$

Por lo tanto, el **rango de temperaturas alcanzable** es:

$$22\text{ }^{\circ}\text{C} \leq T \leq 34,55\text{ }^{\circ}\text{C}$$

## 7.2. Tiempo de Respuesta del Sistema

El tiempo de respuesta se refiere al tiempo que el sistema tarda en alcanzar un porcentaje significativo del valor final deseado. Para un sistema de primer orden, estos tiempos se calculan usando la constante de tiempo  $\tau$ .

### ■ 63.2 % del cambio total:

$$t_{63,2\%} \approx \tau = 243,91 \text{ segundos} \approx 4,07 \text{ minutos}$$

### ■ 95 % del cambio total:

El tiempo para alcanzar el 95 % del valor final es aproximadamente 5 veces la constante de tiempo:

$$t_{95\%} \approx 5 \cdot 243,91 = 1219,55 \text{ segundos} \approx 20,33 \text{ minutos}$$

## 7.3. Resumen del Control de Temperatura

### ■ Rango de temperaturas alcanzable:

- Mínima:  $22\text{ }^{\circ}\text{C}$  (sin potencia aplicada).
- Máxima:  $34,55\text{ }^{\circ}\text{C}$  (con 100 % de potencia).

### ■ Tiempos de respuesta:

- 63.2 % del valor final:  $\approx 4,07$  minutos.
- 95 % del valor final:  $\approx 20,33$  minutos.

## 7.4. Simulación en Python

El siguiente código en Python simula la respuesta de la temperatura para diferentes niveles de potencia. La temperatura se calcula usando una función exponencial basada en el modelo de primer orden.

```

import numpy as np
import matplotlib.pyplot as plt
import pandas as pd

# Simulacion de la Respuesta de Temperatura a Diferentes Potencias

% Parametros del sistema
K = 0.1268 % Ganancia estatica promedio (C/P%)
tau = 243.54 % Constante de tiempo promedio (s)
P_max = 100 % Potencia maxima (P%)

% Asumiendo que tienes un DataFrame con la columna 'Temperatura_(C)'
df = pd.read_csv('tu_archivo.csv') % Reemplaza con el nombre correcto
del archivo
temperatura = df['Temperatura_(C)']
T_inicial = temperatura[:50].mean() % Temperatura inicial (C)

% Vector de tiempo para la simulacion
tiempo = np.arange(0, 1200, 1) # Desde 0 hasta 1200 s en incrementos de
1 s

# Lista de niveles de potencia en porcentaje
niveles_potencia = [10, 20, 30, 40, 50, 60, 70, 80, 90, 100]

# Crear la figura para las graficas
plt.figure(figsize=(12, 8))

for porcentaje_potencia in niveles_potencia:
    # Calculo de P y T_final para cada nivel de potencia
    delta_P = P_max * (porcentaje_potencia / 100)
    delta_T_final = K * delta_P

    # Calculo de la temperatura en funcion del tiempo
    T = T_inicial + delta_T_final * (1 - np.exp(-tiempo / tau))

    # Graficar la respuesta
    plt.plot(tiempo, T, label=f'{porcentaje_potencia}% de Potencia')

# Configuracion de la grafica
plt.title('Simulacion de la Respuesta de Temperatura a Diferentes
Potencias')
plt.xlabel('Tiempo (s)')
plt.ylabel('Temperatura (C)')
plt.legend()
plt.grid(True)
plt.show()

```



## 7.5. Explicación del Código

- **Cálculo de  $\Delta P$ :** La potencia aplicada se calcula como un porcentaje de la potencia máxima.
- **Cálculo de  $\Delta T_{\text{final}}$ :** Se determina el aumento de temperatura esperado para cada nivel de potencia.
- **Simulación de la respuesta térmica:** La temperatura se calcula usando la ecuación:

$$T(t) = T_{\text{inicial}} + \Delta T_{\text{final}} \cdot (1 - e^{-t/\tau})$$

- **Gráfica:** Se generan curvas de temperatura en función del tiempo para diferentes niveles de potencia.

## Resultados Simulaciones

El sistema permite controlar la temperatura interna entre **22 °C y 34.55 °C** según la potencia aplicada. El tiempo de respuesta para alcanzar el 95 % del valor final es de aproximadamente **20 minutos**. La simulación en Python confirma estos resultados mostrando cómo la temperatura evoluciona con diferentes niveles de potencia.

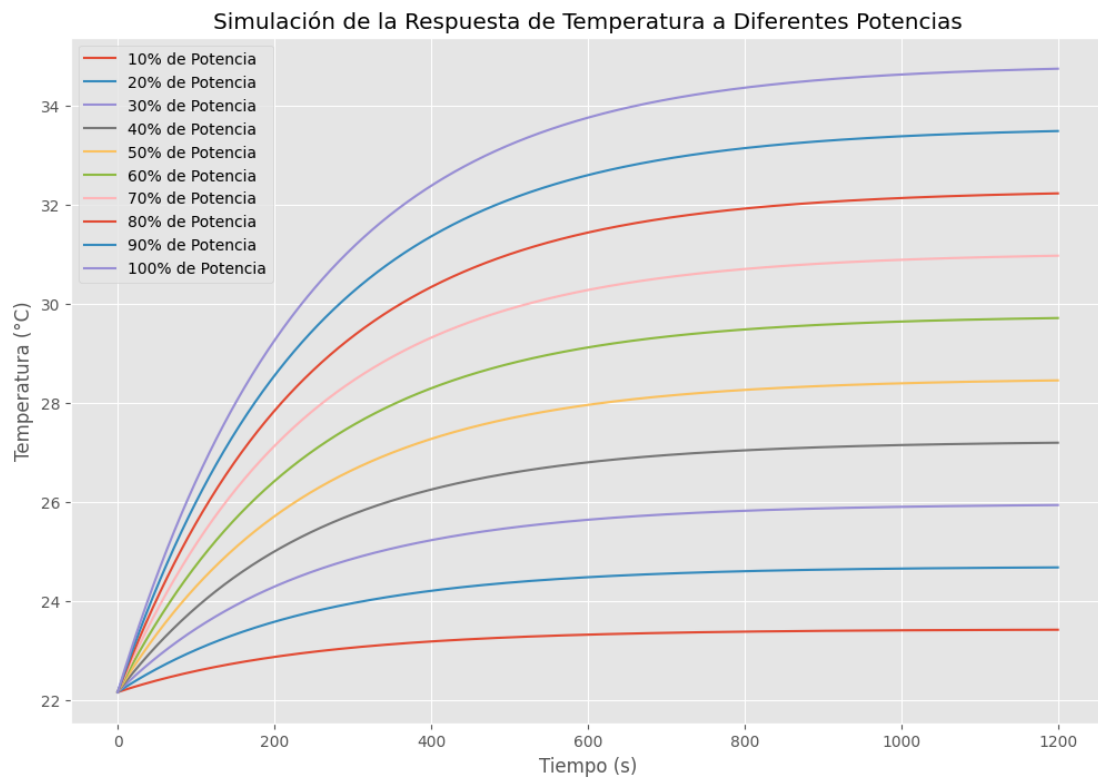


Figura 18: Simulación de la Respuesta de Temperatura a Diferentes Potencias

## 8. Algoritmo de Control PID en Arduino

El sistema a controlar es de naturaleza térmica, lo que implica una respuesta lenta a los cambios. Dado que no se espera un comportamiento rápido o cambios bruscos, se ha decidido utilizar un **controlador PI** (Proporcional-Integral) en lugar de un PID completo. La ausencia del término derivativo evita amplificar el ruido proveniente del sensor de temperatura.

### 8.1. Cálculo de los Parámetros del PID

El controlador PID se define por tres constantes:

- **Proporcional** ( $K_p$ ): Controla la magnitud de la respuesta al error actual.
- **Integral** ( $K_i$ ): Corrige errores acumulados en el tiempo, útil para eliminar el error en estado estacionario.
- **Derivativo** ( $K_d$ ): Anticipa cambios futuros en el error, útil para sistemas rápidos. Sin embargo, no es necesario en sistemas térmicos.

Selección de los Valores:

- $K_p = 30,0$ : Un valor alto para corregir rápidamente los errores iniciales.
- $K_i = 1,0$ : Un valor moderado para evitar acumulación excesiva del error, proporcionando estabilidad en el estado estacionario.
- $K_d = 0,0$ : No se utiliza el término derivativo debido a la lentitud y ruido del sistema.

Estos valores fueron determinados empíricamente mediante prueba y error usando el metodo **Ziegler-Nichols**, ajustando los parámetros hasta lograr una respuesta rápida sin oscilaciones significativas.

### 8.2. Implementación en Arduino

```
#include <PID_v1.h>

// Variables PID
double Setpoint, Input, Output;
double Kp = 30.0, Ki = 1.0, Kd = 0.0;
PID myPID(&Input, &Output, &Setpoint, Kp, Ki, Kd, DIRECT);

// Control automatico
bool control_automatico = false;
float ultimasTemp[5] = {0};
int indiceTemp = 0;
```

```

void setup() {
    Serial.begin(115200);

    // Configuración del PID
    myPID.SetMode(AUTOMATIC);
    myPID.SetOutputLimits(0, 100);
}

void loop() {
    // Medición de temperatura cada 250 ms
    if (millis() - tiempoAnteriorTemp >= 250) {
        lecturaNTC = analogRead(NTC_PIN);
        resistenciaNTC = 100000.0 * ((1023.0 / lecturaNTC) - 1.0);
        logResistencia = log(resistenciaNTC);
        tempKelvin = 1.0 / (A_COEFF + B_COEFF * logResistencia + C_COEFF *
            pow(logResistencia, 3));
        tempCelsius = tempKelvin - 273.15;

        ultimasTemp[indiceTemp] = tempCelsius;
        indiceTemp = (indiceTemp + 1) % 5;

        if (control_automático) {
            Input = calcularPromedio(ultimasTemp, 5);
            myPID.Compute();
            analogWrite(LUZ_PIN, map(Output, 0, 100, 0, 255));
        }

        tiempoAnteriorTemp = millis();
    }

    // Envío de datos por Serial cada 300 ms
    if (millis() - tiempoImprimir >= 300) {
        Serial.print(calcularPromedio(ultimasTemp, 5));
        Serial.print(";");
        Serial.print(velocidadRPM);
        Serial.print(";");
        Serial.println(Output);
        tiempoImprimir = millis();
    }

    // Lectura de comandos desde Serial
    if (Serial.available() > 0) {
        String comando = Serial.readStringUntil('\n');

        if (comando == "AUTOMATIC_ON") control_automático = true;
        else if (comando == "AUTOMATIC_OFF") control_automático = false;
        else if (comando.startsWith("SETPOINT")) Setpoint = comando.substring

```

```
        (9).toDouble();  
    }  
}
```

Este diseño e implementación de un controlador PI en Arduino permite gestionar la temperatura del ambiente, la potencia de la luz sin cambios bruscos. Los valores PID fueron seleccionados empíricamente para obtener una respuesta rápida y estable. La exclusión del término derivativo es adecuada dado que se trata de un sistema lento con ruido en las mediciones. La estructura modular del código permite extenderlo fácilmente para otras funcionalidades ya que al separar el control manual del ventilador, ampolleta con el control automatico permite usar uno u otro cuando se requiera.

### **8.3. Resultados Control de Temperatura con PID**